К. х. н. **А. С. Т**олкачева^{1,2} (⊠), к. х. н. **Н. М. П**оротникова¹, к. х. н. **А. С. Ф**арленков², к. х. н. **Е. А. И**льина¹, к. х. н. **М. А. Ко**нопелько¹

- ¹ ФГБУН «Институт высокотемпературной электрохимии Уральского отделения Российской академии наук», Екатеринбург, Россия
- ² ФГАОУ ВО «Уральский федеральный университет», Екатеринбург, Россия

УДК 661.862'027+546.34]:621.352.6

LIAIO₂ ДЛЯ КАРБОНАТНОГО ТОПЛИВНОГО ЭЛЕМЕНТА, СИНТЕЗИРОВАННЫЙ БЕЗНИТРАТНЫМ СПОСОБОМ

Однофазный кристаллический алюминат лития, широко используемый материал матрицы для электролита топливного элемента, был синтезирован двумя безнитратными методами при 650 °C. Зольгель метод включал пиролиз коллоидной смеси гидроксида алюминия и формиата лития. Преимуществами применяемого пиролиза формиата по сравнению с другими методами сжигания являются отсутствие выброса оксида азота, а также высокая однородность продукта. Твердофазный синтез является традиционным методом, используемым в промышленности, поэтому в работе было подобрано оптимальное соотношение массы порошка к массе мелющих тел, обеспечивающее большую площадь поверхности. Описанные методы синтеза представляют собой простые, экономичные и экологичные методы изготовления субмикронных порошков α -LiAlO $_2$ с площадью поверхности 25–27 м²/г, которые являются оптимальными для применения в качестве матричного материала в топливных элементах с расплавленным электролитом.

Ключевые слова: топливный элемент с расплавленным электролитом, матрица, алюминат лития α -LiAlO2, синтез.

ВВЕДЕНИЕ

дной из самых актуальных экологических задач остается снижение уровня СО2 в атмосфере. Этот вопрос включает модификацию или разделение выхлопных газов, рекуперацию и утилизацию. Имеется несколько решений по снижению выбросов СО2: адсорбция с последующей регенерацией, улавливанием и хранением, использование в химическом синтезе, в процессах биологической переработки и использование экологически чистых источников энергии. Их особенности с анализом стоимости и возможностей использования подробно рассмотрены в нескольких обзорах [1, 2]. Одной из конкурентоспособных технологий улавливания углекислого газа является применение топливных элементов с расплавленным электролитом [3]. Топливные элементы такого типа работают при умеренной температуре. При улавливании СО2 газовая смесь, содержащая воздух и СО2 (например, из отходящих газов турбины), используется в качестве катодного газа. Диоксид углеро-

 \bowtie

A. С. Толкачева E-mail: a.s.tolkacheva@urfu.ru да и кислород взаимодействуют с образованием карбонат-ионов в среде электролита. В результате их электрохимического взаимодействия с водородом происходит выделение электронов, воды и CO_2 на аноде. Таким образом, происходит перенос CO_2 от катода к аноду. Выделяемый газ на аноде с высоким содержанием CO_2 подходит для дальнейшей переработки.

Такой способ снижения выбросов имеет следующие преимущества: уменьшение химического загрязнения атмосферы, производство энергии и меньшее энергопотребление по сравнению с традиционными технологиями. Кроме того, такой способ подходит для утилизации выбросов от промышленных котлов, парогенераторов, цементных печей, электростанций и т. д. [3]. В качестве матрицы для расплавленного карбонатного электролита обычно используются неорганические соединения, например алюминат лития LiAlO₂. Большинство исследований было сосредоточено на γ-LiAlO₂ [4], так как фазовый переход от α - к γ -LiAlO₂ в атмосфере СО2 и N2 происходит вблизи рабочей температуры устройства. Более стабильной модификацией в рабочих условиях на воздушной смеси является α-алюминат лития. Кроме того, его α-модификация синтезируется при более низкой температуре, поэтому перспективна в качестве материала матрицы.

Применение керамики в качестве матрицы, удерживающей электролит, требует однофазности материала и удельной поверхности не ниже 10 м²/г, однородного размера зерен, а также однородной пористости для стабильного капиллярного удержания расплава [4]. В научной литературе описано множество попыток найти подходящий метод синтеза алюмината лития; разнообразие методов приведено в таблице [5–15].

Недостатком многих проведенных исследований является отсутствие информации о размере зерна или удельной поверхности получаемых порошков, а это критичный параметр при производстве матриц. Наиболее перспективным представляется самораспространяющий-

Методы синтеза порошков LiAIO₂

ся высокотемпературный синтез (СВС), при котором непосредственно образуется γ -LiAlO₂ без перехода через другие модификации [14].

Сырьевые материалы для твердофазной реакции должны быть тщательно измельчены, что обычно требует много времени и больших затрат энергии. Основным недостатком твердофазного синтеза является малая удельная поверхность получаемых порошков. Решить эту проблему можно механической активацией [5]. Однако твердофазный синтез остается более дешевым методом по сравнению с методами сжигания, которые из-за добавления топлива увеличивают стоимость продукта (см. таблицу). Золь-гель метод, в том числе гидролиз алкоксидов, не может быть использован в

1/6-8

12/0

1/0

1/0

9/1

1/0

2/0

[14]

[15]

[11, 12]

[11, 12]

[16]

По

данным работы

То же

1

7,49

15,62

6,87

7,0

10,3

Нет данных

(Диаметр

3,6-6,9 нм,

длина

100-400 HM

Нет данных

45

25

27

Улельная

Реактив	Метод	Условия	Продукт	поверхность, м²/г (размер частиц)	CO ₂ /NO ₂ , моль	турный источник	мость 1 г, евро* ³
Al(OH) ₃ (гиббсит), Li ₂ CO ₃ (1)	Механоактива- ция*⁴	Сырье:шары = = 1:20, 10 °С/мин, 650 °С, 4 ч	α, γ-LiAlO ₂	20-25	1/0	[5]	1,86
γ-Al ₂ O ₃ , Li ₂ CO ₃ (2)	Твердофазный в расплаве*≀	600-700 °C, 24 ч, в потоке CO ₂	α , γ -LiAlO ₂	~2	1/0	[6]	~7,0
[LiAl ₂ (OH) ₆] ₂ CO ₃ ·3H ₂ O, Li ₂ CO ₃	Твердофазный* ¹	700-800 °С, 2 ч	γ -LiAlO ₂	3,5	_	[7]	_
γ-LiAlO ₂	Помол в планетар- ной мельнице*1	250 об/мин, 21 ч	γ-LiAlO ₂	12	_	[8]	6,8
Al(NO ₃) ₃ ·9H ₂ O, LiNO ₃ , РММА латекс, метанол (3)	Кристаллизация коллоида на под- ложке ^{*2}	650°С, 10ч	γ-LiAlO ₂	56	5/1	[9]	88,65
Изопропоксид алюминия $Al(OC_3H_7)_3$, LiNO $_3$, изопропанол (4)	Золь-гель ^{∗2}	1150 °С, 3 ч	γ-LiAlO ₂	2	9/1	[10]	6,87
Алюминия сек-бутоксид, LiOH, <i>n</i> -бутанол (5)	Гидролиз алкок- сидов ^{#2}	Старение геля 24 ч, сушка при 110°С 6 ч, спекание при 1000°С, 4 ч	γ-LiAlO ₂	(10 мкм)	12/0	[11, 12]	16,54
Этоксид лития, этоксид алюминия (6)	То же	Гидролиз в боксе, атмосфера сухого N ₂ , спекание при	γ-LiAlO ₂	(0,1 мкм)	8/0	[13]	26

700-1000 °C, 2 ч, в потоке кислорода

450 °C,

самовозгорание

Гидротермический

синтез при 423 К

72 ч, спекание при

750°C, 4ч

1000°С, 4ч

1000°С.4ч

600-800 °C,

1,2-1,5 c

650°C, 24ч

650°C, 24ч

y-LiAlO₂

α-LiAlO₂

α, γ-LiAlO₂

v-LiAlO2

y-LiAlO₂

α-LiAlO₂

α-LiAlO₂

Al(NO₃)₃·9H₂O, LiNO₃, органи-

Алюминия три-сек-бутоксид,

ческое топливо (мочевина,

у-Al₂O₃, Li₂CO₃, перекись

Алюминия изопропоксид

v-Al₂O₃, Li₂CO₃, ацетон

 $Al(OC_3H_7)_3$, соли лития:

 $LiNO_3$, ацетат, формиат $Al(OH)_3$ (гиббсит), Li_2CO_3

 $Al(OH)_3$ (гиббсит), Li_2CO_3 ,

изопропанол, муравьиная

карбогидразид) (7)

LiOH (8)

водорода

кислота (9)

Сжигание*2

Гидротермальный

синтез

Сприменением

пероксида

Сплавление

Ультразвуковой

спрей-пиролиз*2

Твердофазный

Пиролиз фор-

миата*2

Стои-

Литера-

^{*1} Твердофазная реакция.

^{*2} Золь-гель метод.

^{*3} В соответствии с каталогом фирмы Merch и средними ценами на электричество в Германии в 2020 г.

массовом производстве матриц из-за своих недостатков. Среди них: необходимость дорогих и нестабильных исходных реагентов, точный контроль технологических операций и большое количество исходящих газов ${\rm CO/CO_2}$ и ${\rm NO_x}$, сопровождающих реакцию разложения. Тем не менее, этот метод позволяет варьировать размер зерна, который зависит от типа прекурсоров и параметров синтеза (см. таблицу) согласно уравнениям реакций:

$$2\text{Al}(\text{OH})_3 + \text{Li}_2\text{CO}_3 \rightarrow 2\text{LiAlO}_2 + 3\text{H}_2\text{O} + \text{CO}_2, \qquad (1)$$

$$\text{Al}_2\text{O}_3 + \text{Li}_2\text{CO}_3 \rightarrow 2\text{LiAlO}_2 + \text{CO}_2, \qquad (2)$$

$$(\text{C}_5\text{O}_2\text{H}_8)_{n=1} + \text{LiNO}_3 + \text{Al}(\text{NO}_3)_3 + 2\text{O}_2 \rightarrow \text{LiAlO}_2 + \\ + 5\text{CO}_2(\text{CO}) + \text{NO}_2 + 4\text{H}_2\text{O}, \qquad (3)$$

$$\text{Al}(\text{OC}_3\text{H}_7)_3 + \text{LiNO}_3 \rightarrow \text{LiAlO}_2 + 9\text{CO}_2(\text{CO}) + \text{NO}_2 + \\ + 10,5\text{H}_2\text{O}, \qquad (4)$$

$$\text{C}_{12}\text{H}_{27}\text{AlO}_3 + \text{LiOH} + 18\text{O}_2 \rightarrow \text{LiAlO}_2 + 12\text{CO}_2(\text{CO}) + \\ + 14\text{H}_2\text{O}, \qquad (5)$$

$$\text{LiC}_2\text{H}_5\text{O} + \text{Al}(\text{C}_2\text{H}_5\text{O})_3 + 12\text{O}_2 \rightarrow \text{LiAlO}_2 + 8\text{CO}_2(\text{CO}) + \\ + 10\text{H}_2\text{O}, \qquad (6)$$

+
$$CO_2(CO)$$
 + $6NO_2$ + $2H_2O$, (7)
 $C_{12}H_{30}AlO_3$ + $LiOH$ + $13,75O_2$ \rightarrow $LiAlO_2$ + + $12CO_2(CO)$ + $15,5H_2O$, (8)

 $LiNO_3 + Al(NO_3)_3 + CH_4N_2O + 2,5O_2 \rightarrow LiAlO_2 +$

$$\text{Li}_2\text{CO}_3 + \text{CH}_2\text{O}_2 + 2\text{Al}(\text{OH})_3 + 0,5\text{O}_2 \rightarrow 2\text{LiAlO}_2 + 2\text{CO}_2 + 4\text{H}_2\text{O}.$$
 (9)

Цель настоящего исследования — получение мелкокристаллического α-LiAlO₂ с высокой удельной поверхностью и низкой температурой синтеза с использованием безнитратной технологии, которая подходит для массового производства и экологически безопасна. Фазовый состав и морфологию порошка α-LiAlO₂, синтезированного золь-гель методом, сравнивали с результатами твердофазной реакции. Модификация золь-гель метода основана на термолизе безазотного золя. Формиат лития использовали в виде соли карбоновой кислоты, содержащей самую короткую углеродную цепь. Аттестация микроструктуры порошка α-LiAlO₂ после погружения в расплав эвтектики карбонатов щелочных металлов проведена с применением сканирующей электронной микроскопии.

ЭКСПЕРИМЕНТАЛЬНАЯ ЧАСТЬ

Алюминат лития синтезирован из исходных реактивов $Al(OH)_3$ и Li_2CO_3 аналитической чистоты. Гидроксид алюминия был представлен в двух кристаллических модификациях: гиббсита (82 %) и байерита (18 %) по данным рентгенофазового анализа (РФА). Удельная поверхность гидроксида алюминия 90–120 м²/г. Были применены два варианта синтеза: твердофазный и пиролиз формиата (золь-гель). Для проведения

твердофазного синтеза исходные компоненты в стехиометрическом соотношении мололи в среде изопропилового спирта в планетарной шаровой мельнице Fritsch Pulverisette 6. Затем 100 г приготовленной смеси загружали в корундовую чашу, добавляли 500 г корундовых шариков (диаметром 5 мм) и смесь измельчали при частоте вращения корундовой чаши 360 об/мин в течение 30 мин. Полученную керамическую суспензию сушили на воздухе при 80 °C. Сухой порошок спекали при 650 °C в течение 24 ч.

Для синтеза мелкодисперсного LiAlO $_2$ из коллоидного раствора путем реакции пиролиза в качестве прекурсора использовали формиат лития HCOOLi, полученный воздействием раствора муравьиной кислоты в изопропиловом спирте в соотношении 1:3 на Li_2CO_3 при длительном перемешивании при комнатной температуре. После того как выделение CO_2 , сопровождавшееся реакцией разложения карбоната, заканчивалось, к этой смеси добавляли $\text{Al}(\text{OH})_3$ при интенсивном перемешивании. Полученную суспензию сушили на воздухе при $80\,^{\circ}\text{C}$. Сухие порошки спекали при $650\,^{\circ}\text{C}$ в течение $24\,^{\circ}\text{U}$.

Полученные материалы аттестовали методом РФА при комнатной температуре на дифрактометре D/MAX-2200 (Rigaku, Япония) с излучением Си $K_{\alpha 1}$ в диапазоне углов 10 град $\leq 2\theta \leq 55$ град с шагом $\Delta 2\theta = 0.02$ град и скоростью 0,3 град /с. Дифрактограммы сверяли с базой данных ICSD (2017).

Синхронный термический анализ (STA) смеси прекурсоров включал комбинацию дифференциальной сканирующей калориметрии и термогравиметрии (ДСК/ТГ), и был проведен на приборе STA 449°C Jupiter (Netzsch) в диапазоне от 35 до 900 °С со скоростью нагрева 10 К·мин⁻¹ в воздушной атмосфере с использованием платиновых тиглей. Полученные данные обрабатывали с помощью программы Netzsch Proteus.

Удельную поверхность $S_{\text{уд}}$ порошков алюмината лития определяли на приборе Сорби N4.1 измерением количества газообразного азота, сорбируемого на поверхности образца при температуре жидкого азота (-195,75 °C). Перед началом эксперимента проводили пробоподготовку образцов в атмосфере гелия (99,995 % Не) при 300 °C в течение 1 ч. Измерения проведены по относительной градуировке при парциальном давлении $4 \le P/P_0 \le 20$, где P — парциальное давление адсорбата; P_0 — давление насыщенного пара адсорбата. Для построения градуировочной зависимости использован стандартный государственный образец оксида алюминия. По расчетам методом БЭТ S_{vx} порошков варьировалась от (26,68±0,12) м²/г при твердофазном синтезе до $(27,34\pm0,35)$ м²/г после пиролиза формиата.

Гранулометрический анализ порошков проводили на лазерном анализаторе Malvern Mastersizer 2000, оборудованном гелийнеоновым лазером с длиной волны 632,8 нм и твердотельным лазером с длиной волны 470 нм. Комбинация двух лазеров, которые включаются последовательно один за другим, позволяет измерять гранулометрический состав в широком диапазоне — от 2 нм до 2 мм. Для измерений использовали обратное преобразование Фурье. Для расчета размера частиц применяли теорию Ми и приближение Фраунгофера.

Суспензию алюмината лития получали на основе дистиллированной воды (ГОСТ 6709–72). Для разделения агломерированных частиц суспензию перемешивали с помощью мешалки с частотой вращения 2600 об/мин, а также подвергали ультразвуковой обработке. За время измерения все частицы многократно проходили через световой пучок. В результате эксперимента и обработки первоначальных данных индикатрисы рассеяния света получено объемное распределение частиц по размерам.

Для тестирования фазовой устойчивости к расплаву электролита порошок $LiAlO_2$, синтезированный твердофазной реакцией, спрессовали в цилиндр и погрузили в эвтектику состава $(Li_{0.43}Na_{0.32}K_{0.25})_2CO_3$ в глиноземистом тигле. Проводили выдержку при 550 °C 270 ч для оценки фазовой стабильности керамики и изменения морфологии зерен. Эксперимент проходил в атмосфере газовой смеси $O_2/CO_2 = 0.33/0.66$. Порошок $LiAlO_2$ после эксперимента отмывали 5%-ным раствором муравьиной кислоты из остывшей эвтектики. Микрофотографии порошков выполнены на сканирующем электронном микроскопе (CЭМ) Mira 3 LMU (Tescan) в режи-

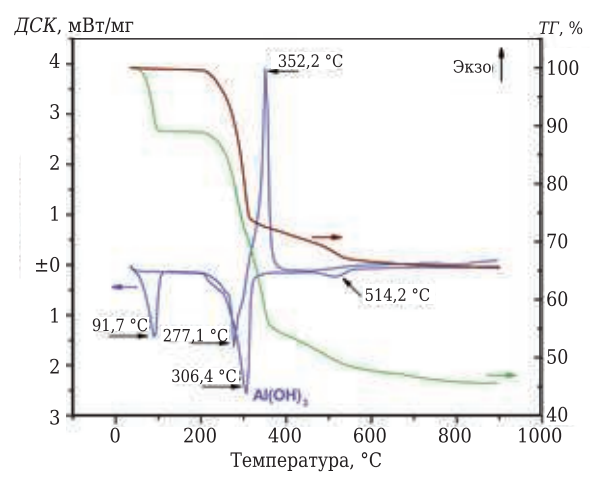


Рис. 1. Кривые дифференциальной сканирующей калориметрии (*ДСК*) и термогравиметрии (*ТГ*) образцов Al(OH)₃ и высушенной смеси реагентов для пиролиза формиата: зеленая линия — потери массы для смеси прекурсоров; коричневая линия — потери массы образца Al(OH)₃

ме вторичных электронов с ускоряющим напряжением 10 кВ.

РЕЗУЛЬТАТЫ И ИХ ОБСУЖДЕНИЕ

Исследование термического поведения коллоидного раствора прекурсора при нагревании на воздухе показало, что его разложение является экзотермическим процессом с потерей массы в основном в интервале 270-360 °C. Общая потеря массы в результате нагрева на воздухе до 900 °C составляет $\Delta m_{\text{эксп}} = 54,37$ мас. %, что хорошо согласуется с расчетным значением $\Delta m_{\rm pacy} = 49,24$ мас. % при условии разложения коллоидного раствора с образованием α-LiAlO₂. На кривой дифференциальной сканирующей калориметрии ICK (рис. 1) при нагреве высушенной смеси реагентов наблюдается эндотермический процесс с максимумом при 91,7 °C, сопровождающийся потерей массы, вызванной. предположительно, испарением либо изопропилового спирта, либо остаточного количества муравьиной кислоты. Следующее поглощение энергии — сложный процесс, который и представляет собой дублет плавления формиата лития (262-265 °C) и фазового перехода между модификациями Al(OH)₃ с его разложением с выделением воды по следующим уравнениям: $Al(OH)_3$ гиббсит $\rightarrow Al(OH)_3$ бёмит; $Al(OH)_3$ байерит \rightarrow Al(OH)₃ бёмит; Al(OH)₃ гиббсит $\rightarrow \chi$ -Al₂O₃; $Al(OH)_3$ байерит \rightarrow n-Al₂O₃. Бёмит Al(OH)₃ разлагается с образованием у-Al₂O₃ выше 470 °C [17], что наблюдается только при индивидуальном нагреве Al(OH)₃ (см. рис. 1). Экзотермический процесс около 350 °C с продолжающейся потерей массы соответствует разложению формиата лития, которое продолжается до 570 °C по следующим реакциям [18]: $HCOOLi \rightarrow 0.5Li_2CO_3 +$ $+ 0.5H_2 + 0.5CO$; HCOOLi $\rightarrow 0.5Li_2C_2O_4 + 0.5H_2$; $HCOOLi \rightarrow 0.5Li_2CO_3 + 0.5HCHO$; $Li_2C_2O_4 \rightarrow Li_2CO_3 +$ + CO; CO \rightarrow 0,5CO₂ + 0,5C.

Предполагается, что изопропилформиат образуется в результате взаимодействия муравьиной кислоты и изопропилового спирта. Слабый эндотермический пик около 246 °C на кривой ДСК можно отнести к температуре испарения изопропилформиата [19]. Пиролиз формиата позволяет получить более активные частицы Li₂CO₃, чем процесс измельчения твердотельного синтеза, который имеет ограничения по эффективности измельчения в шаровой мельнице, а также большее разнообразие модификаций Al₂O₃. Более того, гидроксид алюминия в обычных условиях синтеза около 300 °C изменяет только фазовую модификацию [16], а после пиролиза образует мелкодисперсный порошок оксида и псевдобёмита. Модификации α- и у-оксида алюминия приводят к формированию разных модификаций LiAlO₂ [6] и, насколько нам известно, влияние других модификаций оксида

алюминия на синтез остается неизученным. Дополнительным преимуществом примененного золь-гель метода является большая площадь контакта между частицами по сравнению с твердофазным синтезом. Высокодисперсные частицы оксида алюминия покрыты высушенным раствором формиата, тогда как после шаровой мельницы обеспечивается только точечный контакт частиц.

Результаты РФА (рис. 2) показывают присутствие рефлексов LiAlO $_2$ уже после термообработки при 360 °C, т. е. образование фазы начинается уже после первой стадии разложения формиата, в то время как даже после термообработки при 550 °C по твердофазной технологии остаются хорошо очерченные рефлексы не вступившего в реакцию Li $_2$ CO $_3$. Для сравнения: α -LiAlO $_2$ является первичной фазой в тех же условиях, что и при методе пиролиза. Как отмечалось в статье [6], реакция между Li $_2$ CO $_3$ и Al $_2$ O $_3$ завершается только при температуре выше 600 °C и 24 ч обработки. Метастабильная β -модификация LiAlO $_2$ в промежуточных продуктах не наблюдается. Таким образом, температура спекания должна

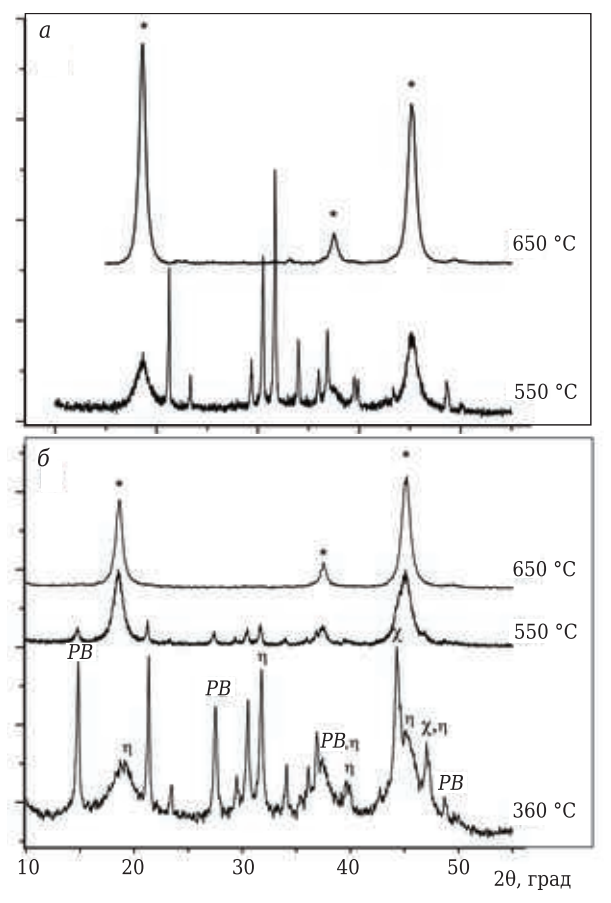


Рис. 2. Рентгенограммы продуктов термического разложения после твердофазного синтеза (a) и пиролиза формиата (b); * — α -LiAlO $_2$ (74-2232 JCPDS); PB — псевдобёмит (21-1307 JCPDS); η — η -Al $_2$ O $_3$ (04-0875 JCPDS) [20]; χ — χ -Al $_2$ O $_3$ (13-0373 JCPDS); остальные рефлексы относятся к Li $_2$ CO $_3$ (87-0729 JCPDS)

быть минимум 650 °C, чтобы достичь полного превращения прекурсоров в α-алюминат лития. По сравнению с механохимической активацией, описанной в публикации [5], в результате которой была получена смесь α- и γ-алюминатов лития после 550 °C, пиролиз формиата дает однофазный продукт.

Анализ распределения частиц по размерам (рис. 3) показывает, что твердофазная реакция дает узкое распределение размеров зерен около 5 мкм. Порошки, полученные пиролизом формиата, демонстрируют более широкий диапазон гранулометрического состава с единственным максимумом около 50 мкм и заметным количеством субмикронной фракции. Более крупные частицы, наблюдаемые после пиролиза, были отнесены к образованию агломератов, о чем свидетельствуют результаты СЭМ (см. ниже). Расчетная удельная поверхность обоих порошков алюмината лития составляет 25-27 м²/г. Механохимическая активация, по данным [5], дает площадь поверхности всего около 18 м²/г с преобладающим размером агрегатов более 65 мкм. Измельчение порошков в шаровой мельнице обычно требует значительных затрат энергии, что является недостатком твердофазного синтеза. Использованный в работе пиролиз формиата позволяет получать более мелкодисперсные порошки, минуя эту технологическую операцию.

Морфология частиц α-LiAlO₂, полученных разложением коллоидного прекурсора, представляет собой пористые агломераты (рис. 4). Причина — образование газообразных продуктов термического разложения прекурсора в процессе пиролиза. Для обоих методов синтеза наблюдаются общая тенденция к укрупнению частиц и их агрегации в более объемные образования, сохраняющие сферическую топографию. Из рис. 4, 5 видно, что крупные агрегаты состоят из более мелких зерен. Частицы, образующиеся при термическом раз-

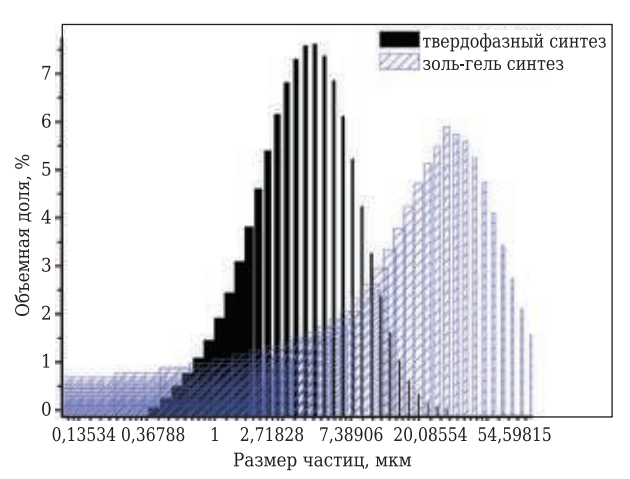


Рис. 3. Гранулометрический состав порошков (суспензия в дистиллированной воде)

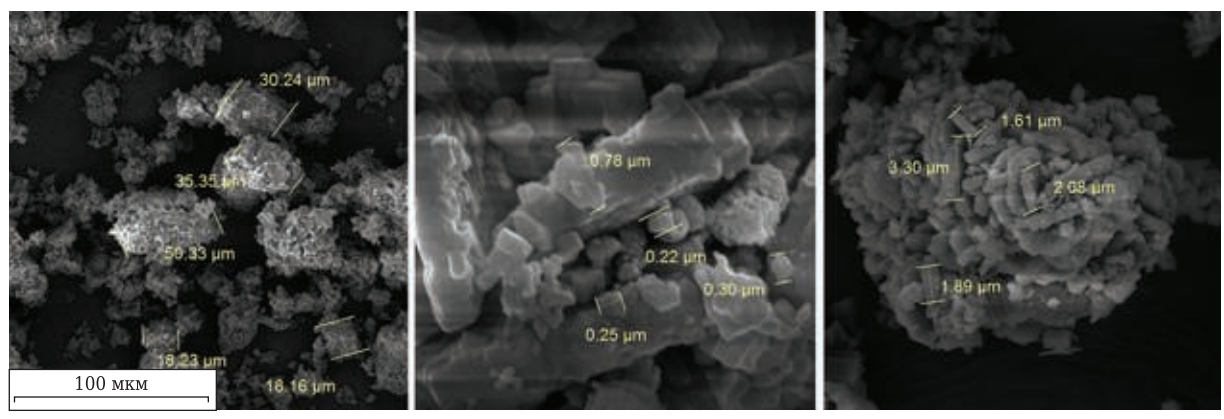


Рис. 4. Микрофотография порошка α -LiAlO $_2$ после пиролиза формиата с разными режимами съемки и увеличением. СЭМ

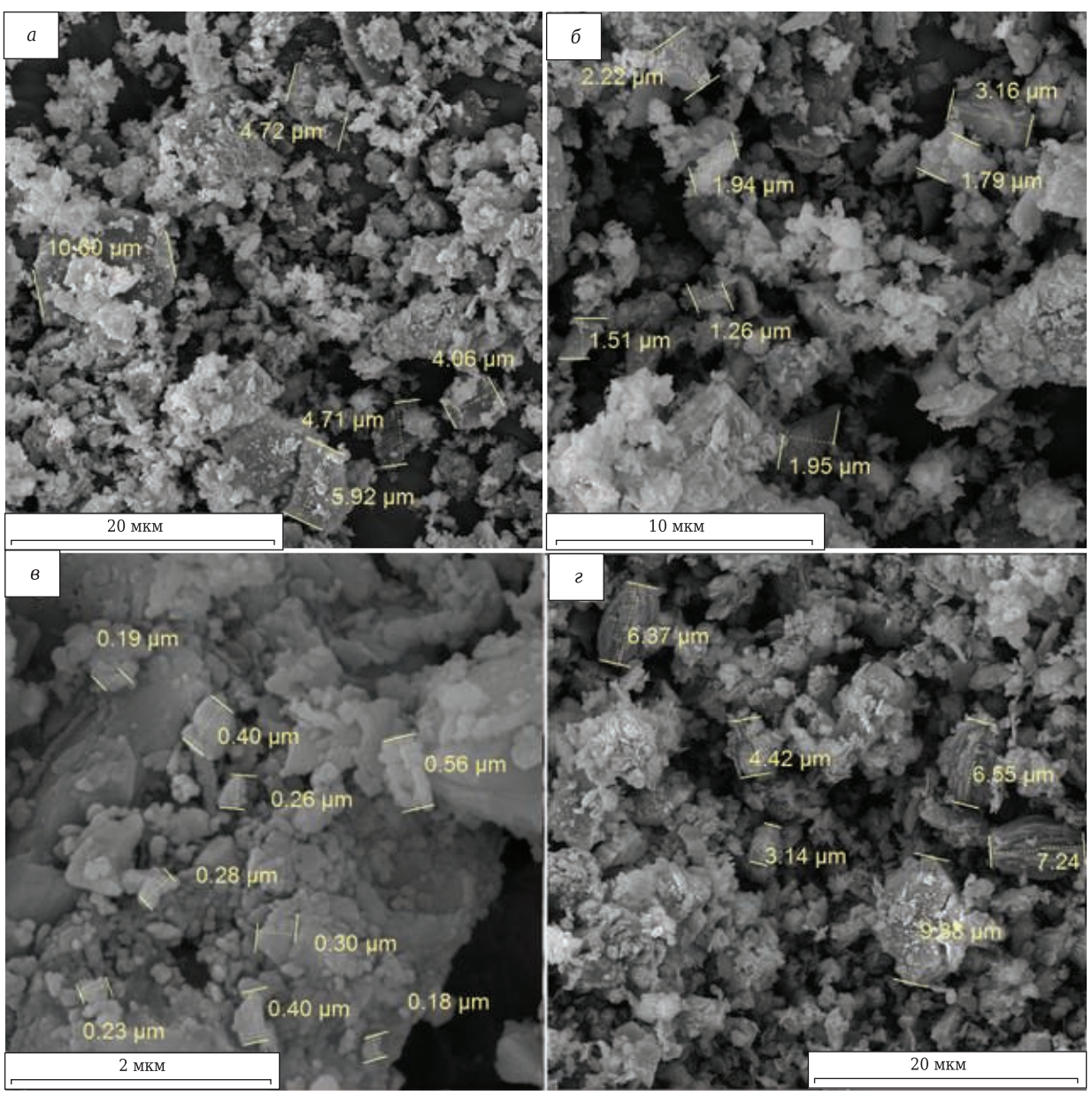


Рис. 5. Микрофотографии порошка α -LiAlO $_2$ после твердофазной реакции при разном увеличении (a, b, b); c — морфология после испытания на стабильность в расплавленной карбонатной эвтектике. СЭМ

ложении, представляют собой сферические агломераты размерами 18-50 мкм, состоящие

из более мелких частиц в виде пластинок диаметром около 2 и толщиной 0,6 мкм. Порошки,

полученные твердофазной реакцией, имеют форму осколков и глыб. Частицы, классифицируемые как глыбы, выглядят как твердые частицы и агломерированные кластеры размерами 5-10 мкм. Это крупные частицы, покрытые хлопьями размерами менее 1 мкм. На микрофотографии полученного α -LiAlO $_2$ видно, что частицы после пиролиза более однородны по форме и размерам.

Серьезной проблемой, ограничивающей срок службы топливного элемента на расплавленном электролите, является переход между модификациями γ -LiAlO $_2$ и α -LiAlO $_2$, который способствует росту частиц и разрушению пористой структуры матрицы. Эти превращения обычно происходят в интервале 600-700 °C. Применение эвтектики с низкой температурой плавления ($\text{Li}_{0,43}\text{Na}_{0,32}\text{K}_{0,25}$) $_2\text{CO}_3$ позволяет работать при температуре до 600 °C, что может быть выгодным для устройств улавливания CO_2 .

Для тестирования устойчивости из синтезированного порошка α -LiAlO $_2$ прессовали таблетку и подвергали ее воздействию расплавленной карбонатной эвтектики в атмосфере $O_2/CO_2=0,33/0,67$ при 550 °C для исследования структурной и морфологической стабильности. Морфология α -LiAlO $_2$ после 270 ч выдержки в расплаве осталась неизменной (рис. 5, z), что согласуется с литературными данными [4], в которых приведены результаты длительных испытаний алюмината лития в эвтектиках Li $_2$ CO $_3$ -Na $_2$ CO $_3$ и Na $_2$ CO $_3$ -K $_2$ CO $_3$. Ста-

Библиографический список

- 1. **Hepburn,** C. The technological and economic prospects for CO_2 utilization and removal / C. Hepburn, E. Adlen, J. Beddington [et al.] // Nature. 2019. Vol. 575. P. 87–97. DOI: 10.1038/s41586-019-1681-6.
- 2. *Pires, J. C. M.* Negative emissions technologies: a complementary solution for climate change mitigation / *J. C. M. Pires* // Science of the Total Environment. 2019. Vol. 672. P. 502–514. DOI: 10.1016/j. scitotenv.2019.04.004.
- 3. *Spinelli, M.* Assessing the potential of molten carbonate fuel cell-based schemes for carbon capture in natural gasfired combined cycle power plants / *M. Spinelli, D. Di Bona, M. Gatti* [et al.] // Journal of Power Sources. 2020. Vol. 448. Article № 227223. DOI: 10.1016/j.jpowsour.2019.227223.
- 4. *Antolini, E.* The stability of LiAlO $_2$ powders and electrolyte matrices in molten carbonate fuel cell environment / *E. Antolini* // Ceram. Int. 2013. Vol. 39, Ne 4. P. 3463–3478. DOI: 10.1016/j.ceramint.2012.10.236.
- 5. **Isupov, V. P.** Mechanochemical synthesis of fine-particle gamma-LiAlO $_2$ / V. P. Isupov, Y. E. Trukhina, N. V. Eremina [et al.] // Inorganic Materials. 2016. Vol. 52. P. 1189–1197. DOI: 10.1134/s0020168516110042.
- 6. *Kinoshita, K.* Preparation and characterization of lithium aluminate / *K. Kinoshita, J. W. Sim, J. P. Ackerman* // Materials Research Bulletin. 1978. Vol. 13, N = 5. P. 445–455. DOI: 10.1016/0025-5408(78)90152-6.

бильность α-фазы подтверждена результатами РФА.

ЗАКЛЮЧЕНИЕ

Субмикронные порошки алюмината лития синтезированы двумя методами: золь-гель и твердофазной реакцией. Пиролиз формиата, который представляет собой адаптированный золь-гель метод, является эффективным и экономичным методом получения субмикронных порошков α-LiAlO₂ однородного размера и формы. Его применение позволяет исключить такой технологический этап, как измельчение сырьевых компонентов в шаровой мельнице. Однофазные продукты реакции получены при 650 °C из коллоидного раствора Al(OH)₃ и формиата лития. Этот безнитратный метод впервые используется для синтеза высокодисперсных порошков алюмината лития. Он прост в реализации и экологичен. Традиционный метод твердофазной реакции также приемлем, когда отношение сырьевых компонентов к массе шаров составляет 1:5, а размер одного шара менее 5 мм. Оба метода позволяют синтезировать однофазные порошки с удельной поверхностью 25-27 м²/г.

* * *

Работа выполнена согласно бюджетному плану Института высокотемпературной электро-химии (№ АААА-А19-119020190042-7) на оборудовании Центра коллективного пользования «Состав вещества» Института высокотемпературной электрохимии.

- 7. **Kharlamova**, **O. A.** Low-temperature synthesis of highly disperse lithium gamma-monoaluminate / O. A. Kharlamova, R. P. Mitrofanova, K. A. Tarasov [et al.] // Chemistry for Sustainable Development. 2004. Vol. 12. P. 379–383.
- 8. **Baron, R.** Manufacturing of gamma-LiAlO₂ matrix for molten carbonate fuel cell by high-energy milling / R. Baron, T. Wejrzanowski, J. Milewski [et al.] // International Journal of Hydrogen Energy. 2018. Vol. 43, № 13. P. 6696–6700. DOI: 10.1016/j.ijhydene.2018.02.085.
- 9. **Sokolov, S.** Preparation and characterization of macroporous gamma-LiAlO₂ / S. Sokolov, A. Stein // Mater. Lett. 2003. Vol. 57, N 22/23. P. 3593–3597. DOI: 10.1016/s0167-577x(03)00131-9.
- 10. *Ribeiro, R. A.* The influences of heat treatment on the structural properties of lithium aluminates / R. A. *Ribeiro, G. G. Silva, N. D. S. Mohallem* // Journal of Physics and Chemistry of Solids. 2001. Vol. 62, № 5. P. 857–864. DOI: 10.1016/s0022-3697(00)00239-0.
- 11. **Valenzuela, M. A.** Solvent effect on the sol-gel synthesis of lithium aluminate / M.A. Valenzuela, L. Tellez, P. Bosch, H. Balmori // Mater. Lett. 2001. Vol. 47, Nole 4/5. P. 252–257. DOI: 10.1016/s0167-577x(00)00243-3.
- 12. **Valenzuela**, **M. A.** Sol-gel synthesis of lithium aluminate / M. A. Valenzuela, J. Jimenez-Becerril, P. Bosch [et al.] // J. Am. Ceram. Soc. 1996. Vol. 79, № 2. P. 455–460. DOI: 10.1111/j.1151-2916.1996.tb08144.x.

- 13. *Hirano, S. I.* Synthesis of LiAlO₂ powder by hydrolysis of metal alkoxides / *S. I. Hirano, T. Hayashi, T. Kageyama* // J. Am. Ceram. Soc. 1987. Vol. 70, № 3. P. 171–174. DOI: 10.1111/j.1151-2916.1987.tb04953.x.
- 14. **Li**, **F**. Combustion synthesis of gamma-lithium aluminate by using various fuels / F. Li, K. Hu, J. L. Li [et al.] // Journal of Nuclear Materials. 2002. Vol. 300, N 1. P. 82–88. DOI: 10.1016/s0022-3115(01)00710-3.
- 15. *Kim, H. J.* Alumina nanotubes containing lithium of high ion mobility / *H. J. Kim, H. C. Lee, C. H. Rhee* [et al.] // J. Am. Chem. Soc. 2003. Vol. 125, N = 44. P. 13354–13355. DOI: 10.1021/ja0374269.
- 16. **Kang, Y. C.** Preparation of submicron size gamma lithium aluminate particles from the mixture of alumina sol and lithium salt by ultrasonic spray pyrolysis / Y. C. Kang, S. B. Park, S. W. Kwon // Journal of Colloid and Interface Science. 1996. Vol. 182, N 1. P. 59–62. DOI: 10.1006/jcis.1996.0436.
- 17. **Wefers, K.** Oxides and hydroxides of aluminum / K. Wefers, C. Misra. Alcoa Laboratories,

- Aluminum Company of America, Pittsburgh, 1987. 47 p.
- 18. *Khlestkin, R. N.* Investigation of the formates thermolysis reactions (in Russian) / R. N. *Khlestkin, Ya. Kh. Valeev, R. S. Zhukov* // Bashkirskii himicheskii zurnal. 2010. Vol. 17, N 2. P. 165–168.
- 19. **Samarov, A. A.** Critical temperatures of isopropyl formate and isobutyl formate (in Russian) / A. A. Samarov, A. G. Nazmutdinov, T. N. Nesterova // Chemistry and Chemical Technology. 2011. Vol. 54, Ne 12. P. 40-42.
- 20. *Tilley, D. B.* The natural occurrence of eta-alumina $(\eta\text{-Al}_2O_3)$ in bauxite / *D. B. Tilley, R. A. Eggleton //* Clays and Clay Minerals. 1996. Vol. 44. P. 658–664. DOI: 10.1346/CCMN.1996.0440508.

Получено 12.05.21 © А.С.Толкачева, Н.М.Поротникова, А.С.Фарленков, Е.А.Ильина, М.А.Конопелько, 2021 г.

НАУЧНО-ТЕХНИЧЕСКАЯ ИНФОРМАЦИЯ



Профили выставки Metalforum:

- добыча и переработка руд черных и цветных металлов;
- сырье металлургического производства руды и концентраты, лом, отходы и шлаки;
- машины и оборудование для металлургии плавильные, отжиговые печи, литейные ковши и др.;
- прессы и экструдеры, молоты и печи для термообработки;
- оборудование для производства труб и проволоки, листа и фольги;
- материалы и добавки огнеупоры, смеси, стержни, опоки;
- машины и оборудование для очистки и снятия напряжений в отливках;
- машины и оборудование для порошковой металлургии, конвейеры, питатели и др.;
- металлы (чугун, сталь, цветные металлы), сплавы черных и цветных металлов и изделия из них;
- чугунные и стальные трубы;
- проволока, пружины, кабели, цепи;
- продукция порошковой металлургии;
- металлоконструкции для промышленности и строительства;
- ножи, ножницы, пилы, отвертки, сверла и другой ручной и производственный инструмент;
- утилизация лома и отходов металлургического производства;
- научно-исследовательские разработки, услуги, программное обеспечение и др.

www.itm-europe.pl/en